

Journal of the Korean Ceramic Society  
Vol. 11, No. 1, 1974  
Printed in Republic of Korea

## 低融點유리와 各種金屬과의 封着機構에 있어서 金屬酸化物의 役割

鄭 昌 柱

全南大學校 烹業工學科  
(1973年 11月 3日 接受)

### Role of Added Metal Oxide in the Adherence Mechanism of Low Melting Glass to Several Metal Seals.

Chang-Ju Jung.

Department of Ceramic Engineering, Chonnam National University

#### ABSTRACT

The role of added metal oxide in the adherence mechanism of low melting glass to several metal plates such as oxygen free high conducting copper, low carbon steel, chromium galvanized on copper, and stainless steel was investigated.

The metal oxides which added to glass were cupric oxide, ferric oxide, chromic oxide, and stainless steel oxide.

The glass to that various metal oxide were added, sealed with several metal plates in the electric furnace at 650°C for 5 minutes.

The results as follows:

- 1) The interfacial reaction was promoted and strong chemical bonding with glass and metals by which the surface energy was decreased showed excellent sealing by addition of metal oxide.
- 2) When the interfacial reaction of glass and metals was promoted by addition of metal oxide found out that various adherence mechanism were related to the sealing.
- 3) When the amount of metal oxide addition was 3-5% the excellent sealing was achieved.

#### 1. 緒 論

유리와 金屬의 封着技術은 白熱燈, 放電燈으로부터 真空管, braun 管, 特殊電子管等의 製造와 더불어 發達하였고 電子工業이 隆盛하이질에 따라 急速하게 進歩하였다. 特히 封着技術은 極超短波真空管等 높은 真空度와 特殊性能을 必要로하는 管狀의 製造를 為하여 要求되여 所謂 氣密端子(hermetic seals)로서 transistor, 整流器, 水晶振動子等의 case, 並 回路部分 濾波器等의 電子工業部品이나 冷凍器 compressor의 電氣機器部分의 氣密封止에 利用되고 electro luminescence의 製造나 通常의 琥珀製品의 製造技術에 이르기 까지 多

方面에 應用되고 있다.

이러한 封着의 機構는 여러가지로 說明되고 있다. 即 유리와 金屬의 境界面의 凸凹에 依하여 兩者가 서로 接觸的으로 固着된다는說<sup>1,2)</sup>, 유리中에 熔解되어 있는 金屬酸化物이 電氣化學의 으로 還元되어 基板上에析出한 結晶인 dendrite가 차치 金屬이 유리에 뿌리를 박은 것처럼 生長하여 兩者를 結合한다는說<sup>3,4)</sup>, 封着에 있어서 基板의 表面酸化物이 유리中에 熔解하고 이것이 유리의 網目構造中에서 修飾酸化物로 作用하여 網目構造中の 酸素橋를 切斷하여 그結果로 網目構造強度를 低下시키고 切斷된 結合하는 金屬基板側에 向하게 되기 때문에 유리와 基板의 化學的結合을 促進하여 結合한다.

는說<sup>5)</sup>, 金屬基板과 유리사이에 介在하는 金屬表面酸化物이 유리 및 金屬의 兩쪽에 結合하여 間接的으로 유리와 基板이 結合된다는說<sup>6), 7)</sup> 等이 알려져 있다.

그러나 유리와 金屬의 封着機構에 關한 最近의 解釋은 여러 가지 方法으로 酸化處理한 金屬基板上의 金屬酸化物이 유리와 金屬의 中間에 介在하여前述한 여러 結合說에 寄與<sup>8)</sup>하는 것으로 알려지고 있다. 金屬基板의 酸化處理는 金屬板을 大氣中, 濕潤水素中 또는 調節된 雰圍氣中에서 高溫酸化하여 酸化物皮膜을 形成하는 方法이 매우 까다롭게 行하여지고 있다.

앞서 指述한바의 더러가지 封着機構에 있어서는 金屬表面의 酸化物皮膜이 極히 重要的役割을 하고 있음에 確實하고 特히 유리와 金屬과의 遷移層에 있어서의 金屬酸化物의 擴散의 程度가 封着強度等에 亂影響을 끼치고 있음이 確實하다.

著者는 金屬基板은 酸化處理하지 않고 低融點 유리에 封着하려고 하는 金屬酸化物을 미리 유리中에 添加하여 熔融해서 유리를 만들어 酸化物皮膜이 全혀 없는 清淨한 金屬과 封着하면 유리中에 미리 添加한 金屬酸化物로 하여금前述한 金屬表面酸化物의 役割을 堪當케 함으로써 유리와 金屬間의 热擴散이 極히 促進될 것

Table 1. Chemical composition and properties of glass.

Composition (wt%)					Thermal Expansion Coefficient $\alpha \times 10^{-7}$ (cm/cm) (25~330°C)	Softening Point (°C)
PbO	B <sub>2</sub> O <sub>3</sub>	SiO <sub>2</sub>	Al <sub>2</sub> O <sub>3</sub>	ZnO		
79.84	5.85	4.88	4.77	4.60	94.5	410

Table 2. Chemical composition and properties of metals.

Metal	Composition (wt%)	Therm. Exp. Coef. $\alpha \times 10^{-7}$ (cm/cm) (25~350°C)
Cu	Si<0.05, S<0.03, Mn<0.4, Fe<0.08, Cu bal.	152
Fe	Mn:0.23, P:0.04, S:0.03, C:0.07, Fe bal.	127
Cr	Chromium galvanized on Cu-plate	
Fe-Ni-Cr	Cr:18.7, Ni:9.3, Mn<2.0, Si:0.19, C:0.06, Fe bal.	96

Cu: Oxygen free high conducting copper (OFHC)

Fe: Low carbon steel

Fe-Ni-Cr: Stainless steel

Table 1.에 表示한 유리를 120mesh以下로 粉碎하고 여기에 試薬級金屬酸化物을 Table 3과 같이 添加하여 充分히 混和한後 白金도가니에서 1000°C 1時間加熱熔融한後 热膨脹測定用試料를 만든 다음 冷水中에 投入하고 乾燥한後 200mesh 以下로 粉碎하여 試料로 하였다. 그리고 Fe-Ni-Cr系 stainless steel 板을 900°C로

이고 또 이때 界面 energy 가 減小되기 때문에 보다 強한 化學結合이 일어나고 이로 因하여 化學的變化가 甚 할수록 金屬基板의 表面狀態에 影響을 始쳐서 程度의 差異는 있으나 機械的結合과 dendrite結合이 封着에 關與하여 適當한 遷移層이 形成되어 比較的 容易하게 堅固한 封着이 이루어질 수 있으리라 推論하였다.

그래서 本實驗에서는 金屬基板의 酸化處理는 하지 않고 低融點유리에 封着하려고 하는 金屬의 酸化物를 미리 添加하여 熔融해서 유리를 만들고 酸化物皮膜을 認定할수 있도록 清淨處理한 金屬基板과 封着하였다. 이 封着體의 接觸角과 封着強度를 比較하였고 金屬顯微鏡으로 封着斷面을 觀察하였으며 유리에 添加하였든 金屬酸化物의 封着過程中의 化學變化를 X線迴折分析하여 유리에 添加한 金屬酸化物의 封着機構에 있어서의 役割을 檢討하였다.

## 2. 試 料

### 2-1 使用材料

本實驗에 使用한 PbO-SiO<sub>2</sub>-B<sub>2</sub>O<sub>3</sub>-Al<sub>2</sub>O<sub>3</sub>-ZnO系低融點유리와 金屬基板의 成分組成 및 性質은 Table 1, Table 2와 같다.

加熱하여 表面에 生成된 酸化物를 摂取하여 위와 같은 方法으로 試料유리를 製造하였다.

### 2-2 金屬基板의 處理

銅板은 etching reagent<sup>9)</sup>, 低炭素鋼板 및 stainless steel板은 pickling reagent<sup>10)</sup>로 處理한 다음 水洗, 置은 알카리 溶液으로 漬고 水洗하여 酸化物皮膜이 없

Table 3. The amounts of metal oxide added to glass.

Added Oxide	Wt % of Oxide in Glass.				
CuO	3	5	10	15	20
Fe <sub>2</sub> O <sub>3</sub>	3	5	10	15	20
Cr <sub>2</sub> O <sub>3</sub>	3	5	10	15	20
Stainless Steel Oxide*	3	5	10	15	20

\* Oxidized in the air by heating at 900°C to obtain the stainless steel oxide.

을 硝酸화하고 trichloroethylene 中에 담구었다가 封着에 供하였다. 이 金屬基板의 크기는 40mm×30m이다.

### 3. 實驗方法

#### 3-1. 유리와 金屬基板과의 封着

Table 1과 Table 3의 유리와 amyl acetate와 nitro-cellulose 1.5%를 溶解시킨 接着液을 섞어 500mg, ø10 mm의 圓盤形으로 成形하여 金屬基板과 封着하였다. 이때 各金屬基板에는 同系酸化物이 添加되지 않은 유리와 添加된 유리를 封着하여 系列마다 6個의 試片을製作하였다. 封着은 真空中과 窒素中에서 行한 報告<sup>2)</sup>가 있으나 現場에서는 空氣中에서도 封着이 行하여 程을 考慮하여 氮氣爐中에서 650°C 5分間 封着하였다. 이때의 封着條件는 各系列의 試片이 可及의 同一하게 하기 为하여 同系列의 6個의 試片을 同時に 封着하였다.

#### 3-2 金屬酸化物을 添加한 유리試料의 热膨脹測定

Kanetzu HT型(日製)(容量4KW, 電壓60V, 電流 66A) dilatometer로 5°C/min로 測定하였다.

#### 3-3 封着體의 接觸角測定 및 封着強度比較

接觸角은 試片의 封着部를 dial gauge로 測定하여 摄影하고 直交하는 二方向에서 測定한 4點의 平均值를 求하였다.

封着強度는 定量的測定<sup>3)</sup>에 因難하여 各系列別로 一定한 壓力으로 一定한 子부림을 갖도록 壓搾하여 子부러진 試片에서의 유리의 郎落狀態를 觀察比較하므로써 定性的으로 試験하였고 郎落된 金屬基板의 表面도 아울러 觀察比較하였다.

#### 3-4. 封着斷面의 金屬顯微鏡 觀察

封着된 試片을 phenol系合成樹脂로 mounting 하여 研磨하고 그斷面을 Union Optical(日製) 金屬顯微鏡으로 觀察하였다.

#### 3-5. 線廻折分析

X-線廻折分析은 Shimadzu VD-I型 X-ray diffractometer를 使用하여 粉末法에 依하였다.

### 4. 結果 및 考察

#### 4-1. 热膨脹測定

各試料에 對한 热膨脹測定結果는 Fig. 1과 같다.

热膨脹은 유리에 CuO를 添加할 때는 增加하고 Cr<sub>2</sub>O<sub>3</sub>를 添加할 때는 減小하였는데 이들酸化物들은 유리構造에 까지는 影響을 始起하는 않는 것 같고 Fe<sub>2</sub>O<sub>3</sub>를 添加하면 添加量이 적을 때는 減小하였다가 添加量이 많아지면 增加하는데 이는 Fe<sub>2</sub>O<sub>3</sub>가 유리中에 熔融하면 中間酸化物로서 網目形成酸化物과 網目修飾酸化物의 平衡狀態로 共存하기 때문에 基礎유리의 構造에 變化를 일으켜 热膨脹에 影響을 始起하는 것으로 생각된다.

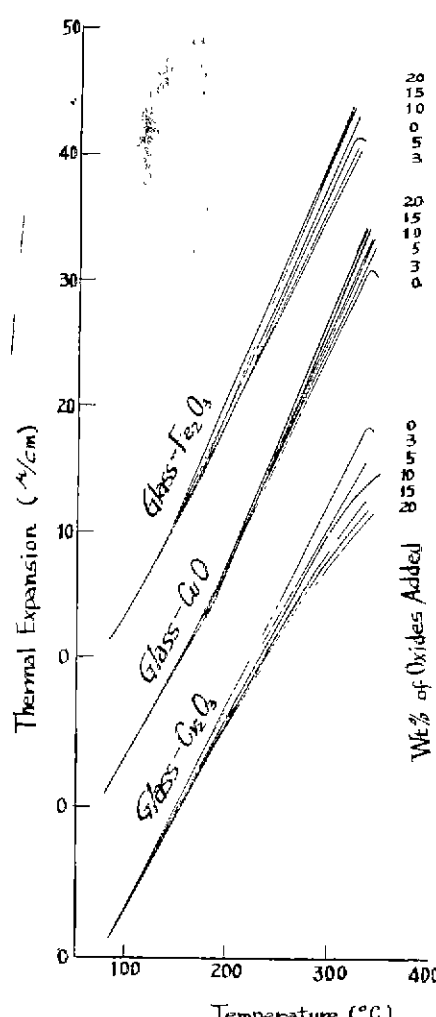


Fig. 1. Effect of oxide additions on the thermal expansion of glasses.

## 4-2. 接觸角測定 및 封着強度比較

接觸角測定의 結果는 Fig. 2와 같다.

鍍金된 Cr扳에  $\text{Cr}_2\text{O}_3$ 를 添加한 유리를 封着한 系列以外에는 3~5%의 金屬酸化物이 添加되면 接觸角은 其中極小值를 나타냈으며 接觸角이 적은것일수록 封着面積이 넓어지고 wettability가 良好함을 나타내는데 이는 Pask<sup>8)</sup>나 Kingery<sup>12, 13)</sup>等의 報告와 一致하고 金屬酸化物과 基板과의 強한 化學結合과 유리와 基板間의 界面反應의 促進에 依한 界面 energy의 低下때문에 나타나는 것으로 思料된다. stainless steel은 위 두 魔遇의 中間의傾向을 나타내는데 이것은 Pask<sup>8)</sup>나久世<sup>14~16)</sup>等의 報告한바에 依하면 Fe-Ni-Cr系의 酸化皮膜은  $\text{Cr}_2\text{O}_3 \cdot (\text{Fe} \cdot \text{Mn})\text{O} \cdot \text{Cr}_2\text{O}_3$ 가 主成分이라 하였고 이로미루어 보아 添加한 stainless steel酸化物이나 封着中에 若干

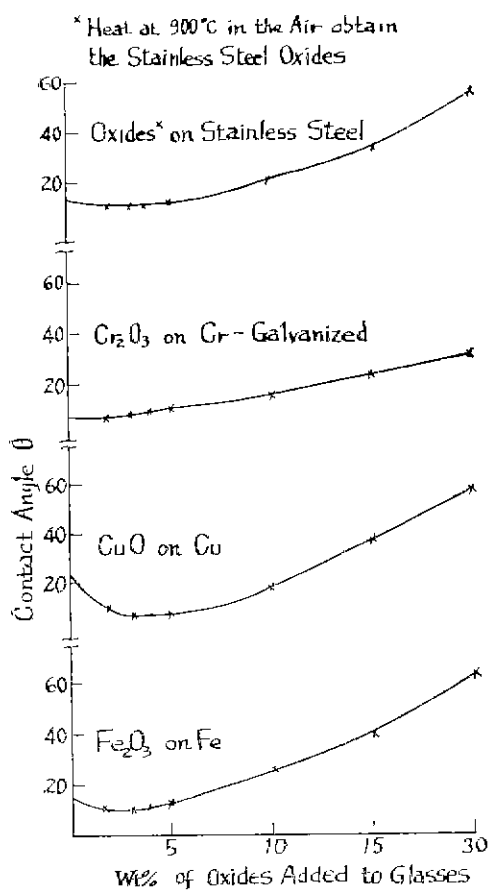


Fig. 2. Effect of oxide additions on the contact angle.

生成되었을 酸化皮膜이  $\text{Cr}_2\text{O}_3 \cdot \text{FeO} \cdot \text{Cr}_2\text{O}_3$  일것으로推定되며  $\text{Cr}_2\text{O}_3$ 와  $\text{Fe}_2\text{O}_3$ 를 添加할때의 中間의인 傾向으로 나타났다고推測된다.

封着強度의 相對的比較는 Table 4와 같다.

Table 4. Adherence strength

Substrate Metal	Added Oxide	Wt % of Metal Oxide Added in Glass					
		0	3	5	10	15	20
Fe	$\text{Fe}_2\text{O}_3$	B	A	A	B	C	C
Cu	$\text{CuO}$	B	A	A	A	B	C
Cr	$\text{Cr}_2\text{O}_3$	A	A	A	A	B	B
Fe-Ni-Cr	Stainless Steel Oxide	A	A	A	B	C	C

A: Exposure phenomena of metal surface  $< 1/3$  of adherence area.

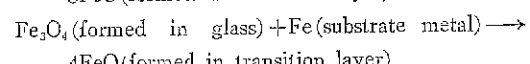
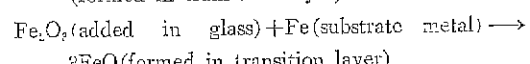
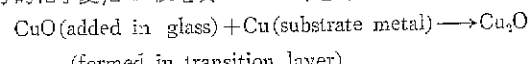
B: Intermediate phenomena of A and C

C: Exposure phenomena of metal surface  $> 2/3$  of adherence area.

封着이 弱하면 유리가 金屬基板에서 完全히 剝落하고 封着이 強하면 유리는 變形에 依하여 延伸지 드라도 그 破片은 硬固하게 基板에 附着하고 理想的으로는 金屬面은 全部 露出되지 않아야 할것이며 中間의인 封着強度는 이들의 中間의 狀態로 나타날것이다.

鍍金된 Cr扳에  $\text{Cr}_2\text{O}_3$ 를 添加한 유리를 封着한 系列以外에는 金屬酸化物이 一定量유리에 添加되면 封着強度가 相當한 程度增加하고 이는 接觸角의 傾向과 一致한다. 即 接觸角이 적은 封着體는 封着強度가 높았으므로 金屬과 유리사이의 界面 energy가 酸化物添加로 低下되었으며 化學結合이 보다 促進된 狀態로 높은 封着強度를 나타낸것으로 判斷된다.

유리剝落面의 金屬基板의 表面을 觀察한바로는 Cr鍍金板에  $\text{Cr}_2\text{O}_3$ 를 添加한 유리를 封着한 系列外에는 金屬酸化物이 添加된 封着體의 金屬基板의 侵蝕이甚히 促進되었다. 이는 封着中에 유리中의 酸化物와 金屬基板間의 热擴散이 活潑하였음을 비롯하여 다음과 같은 部分의 化學變化에 依한것으로 보여진다.



上記의 反應들은 free energy ( $\Delta G$ )<sup>17)</sup>의 減小를 나타내는것을 考慮하면 右向으로 進行됨이 確實하다.

上記의 内容들을 綜合하여 構造的으르 보면 유리와 金屬基板사이의 初期의 狀態를  $[-M-M-\ddot{\square}-O-Si-$

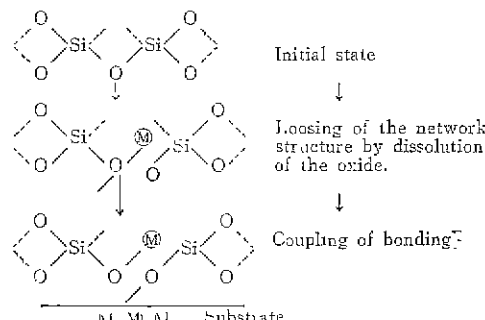


Fig. 3 Structural model of transition layer

$-O-)$ 라 한다면 이것이  $(-M-M-O-Si-O-)$ 인 中間的인 狀態를 거쳐서  $(-M-O-M-O-Si-O-)$ 인 結合으로 되면서 金屬酸化物이 低原子價로 變하는 構造的模型을 Fig. 3. 과 같이도 생각할 수 있을것 같다.

#### 4-3. 金屬顯微鏡觀察

金屬顯微鏡觀察結果는 酸化物添加量에 따른 各系列의 接着斷面의 領角이 비슷하였으므로 其中에서 보다 두드러기 있게 識別이 되는 Cu와 CuO를 添加한 유리系列과의 結果를 Fig. 4에 例示하였다.

金屬酸化物이 添加되지 않은 유리와 金屬의 接着에 있어서는 遷移層이 지나치게 뚜렷하여 主로는 披拂의 附着으로 金屬과 遷移層과 遷移層과 유리와의 封合사이에 dendrite 같은 것은 볼수 없었고 金屬酸化物을 3~

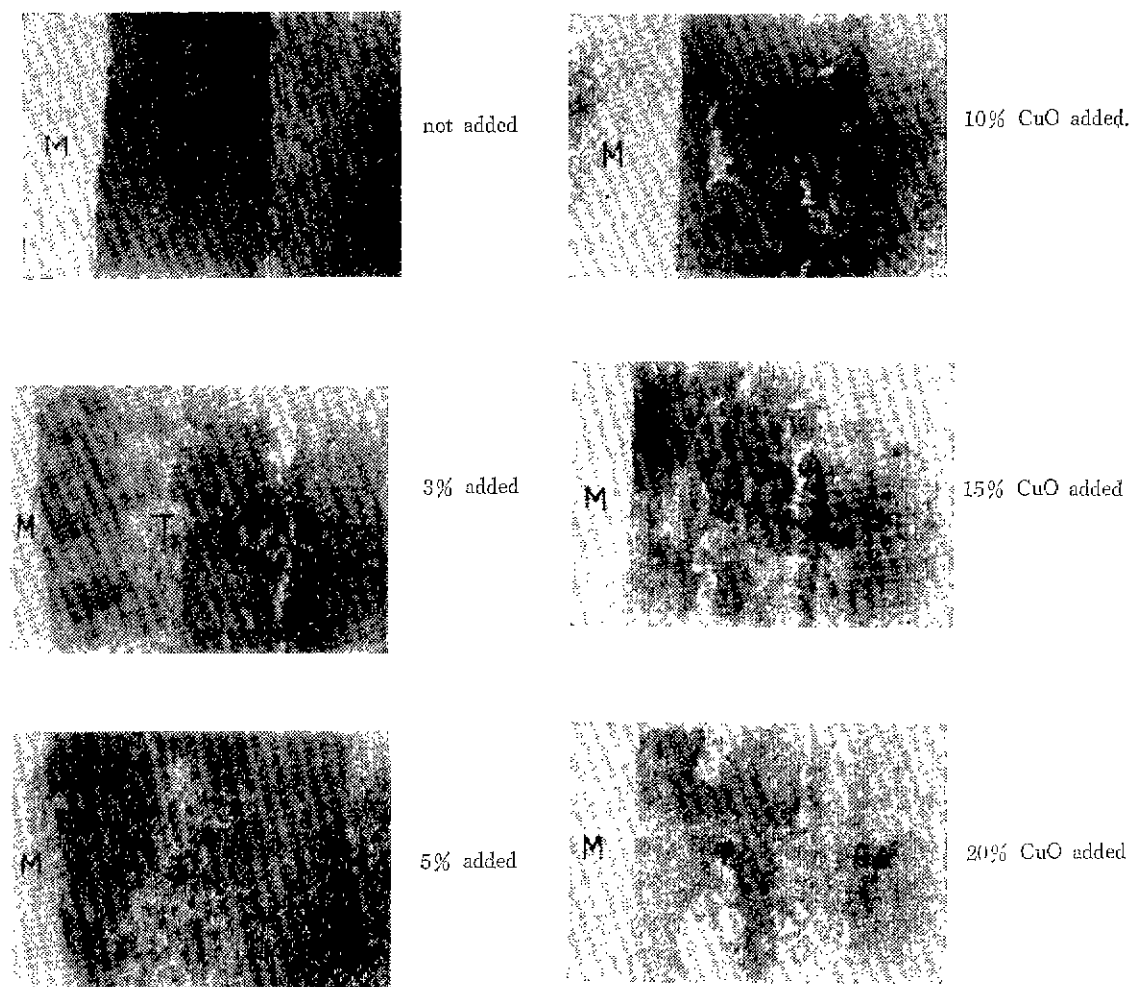


Fig. 4. Metallurgical microscopic aspect of glass (various Wt% CuO added) to Ca-plate seals. ( $\times 600$ ).

5% 添加하였을 때는 透視層에 두相이 나타나는데 한相은 Kingery<sup>18)</sup>가 報告한 바와 같은 유리와 金屬과의 化學結合의 結果로 나타나는 것이고 다른 한 相은 前記의 相과 유리의 境界部分에 있어서 添加된 酸化物를 仲介로 하는 dendrite로 보여진다. 또 添加酸化物이 10%以上 일 때는 細密하지 못한 粗大한 dendrite結合으로 이루어지며 이 傾向은 酸化物添加量이 增加할수록 顯著하게 나타난다. 이는 高齢<sup>19)</sup>가 報告한 kovar와 유리(Corning 7052, 7040), dumet 와 유리와의 封着에서 나타난 바와 類似한 結果이다. 이것은 前節에서 指摘한 化學變化의 結果라 생각된다.

#### 4-4 X線廻折分析

封着에 使用한 유리中에 미리 添加한 金屬酸化物의 化學變化를 檢討하기 爲한 X線廻折分析의 結果는 Fig 5 와 같다.

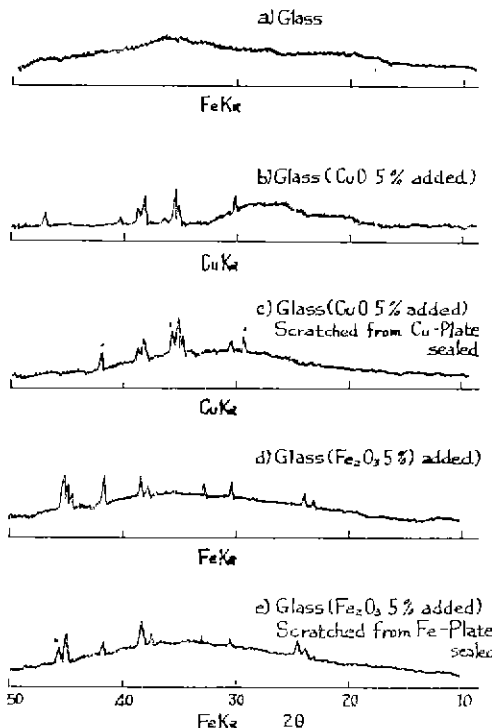


Fig. 5. X-ray diffraction pattern

Fig 5-b)의 CuO 5% 添加한 유리가 封着後에는 Fig 5-c)에서  $d=3.020, 2.465, 2.135\text{ \AA}$  等의  $\text{Cu}_2\text{O}$  特性 Peak 가 나타났고 Fig 5-d)에서  $\text{Fe}_2\text{O}_3$  5% 添加하여  $\alpha\text{-Fe}_2\text{O}_3, \gamma\text{-Fe}_2\text{O}_3, \text{Fe}_3\text{O}_4$  等이 나타난 유리가 封着後에는 Fig 5-e)에서  $d=2.486\text{ \AA}$  等의 FeO 特性 peak 가 나타나고 있음을 앞서指摘한 化學變化量을 이르킨 것으로 解析된다.

#### 5. 結論

$\text{PbO-SiO}_2-\text{B}_2\text{O}_3-\text{Al}_2\text{O}_3-\text{ZnO}$  系 低融點유리와 Cu, Fe, Cr, Fe-Ni-Cr 合金等 金屬基板과의 封着에 있어서 유리에 添加된 金屬酸化物의 份剖을 檢討한 바 다음과의 結論을 얻었다.

- 1) 金屬酸化物添加로 유리와 金屬의 界面反應을 促進시키는 한편 金屬基板과의 強한 化學的結合으로 界面 energy 를 低下시킴으로써 良好한 封着이 이루어졌다.
- 2) 金屬酸化物添加로 유리와 金屬의 界面의 化學變化가 促進됨으로써 여러 가지 封着機構가 程度의 差異는 있으나 封着에 關與하고 있는 것으로 解釋된다.
- 3) 金屬酸化物의 添加量은 3~5%일 때 가장 良好한 封着體가 얻어졌다.

本研究는 1973年度 文教部 研究助成費로 이루어졌으며 이에 深甚한 謝意를 表하는 바이다.

#### References

- 1) R. B. Adams & J. A. Pask: "Fundamentals of Glass to Metals Bonding VII, Wettability of Iron by Molten Sodium Silicate Containing Iron Oxide" *J. Am. Ceram. Soc.* 44 (9) 430~433 (1961)
- 2) J. H. Partridge: "Glass to Metal Seals" *Soc. of Glass Tech.* p. 200 Sheffield England (1949)
- 3) G. R. Von Houten: "A Survey of Ceramic-to-Metal Bonding" *Ceram. Bull.* 38 (6) 301~307 (1959)
- 4) P. Coster: "Role of Adherence Oxides in the Development of Chemical Bonding at Glass-Metal Interfaces" *J. Am. Ceram. Soc.* 49 (1) 1~6 (1966)
- 5) J. A. Pask & R. M. Fulrath: "Fundamentals of Glass-to-Metal Bonding:VIII, Nature of Wetting and Adherence" *J. Am. Ceram. Soc.* 45 (12) 592~596 (1962)
- 6) 池田 豊: "ガラスと金屬の封着の機構" 日窯協 72. (2) 29~37 (1964)
- 7) 鮫島 治, 西山雅男: "ガラス對金屬封止における接觸機構" 日窯協 74 (10) 301~312 (1966)
- 8) F. D. Gaides & J. A. Pask: Advances in Glass Technology: (VI) International Congress on Glass. p. 548 Plenum Press, N. Y. (1962)
- 9) Tayler Lyman: Metals Handbook p 901 Am. Soc. For Metals (1958)
- 10) Tayler Lyman: *ibid*: p. 926, p. 1045.

- 11) 成瀬省 ガラス工學 p. 207 共立出版 (1968)
- 12) W. D. Kingery: "Role of Surface Energies and Wetting in Metal-Ceramic Sealing" *Ceram. Bull.* 35 (3) 108~112 (1956)
- 13) M. Humenik & W. D. Kingery: "Metal-Ceramic Interaction; III, Surface Tension and Wettability of Metal-Ceramic Systems." *J. Am. Ceram. Soc.* 37 (1) 18~23 (1954)
- 14) 久世孝, 岩井直次, 平澤康伸: "封着用 Fe-42Ni-6Cr 合金の 高温酸化" 日金属學會誌 36 (11) 1141-1145 (1972)
- 15) 久世孝, 岩井直次, 幕内昭司: "封着用 Fe-42Ni-6Cr 合金の 高温酸化と ガラス封着性に およぼす 添加元素の 影響" 日金属學會誌 37 (3) 272-278 (1973)
- 16) 久世孝, 岩井直次, 幕内昭司: "封着用 Fe-18Cr 合金の" 高温酸化と ガラス封着性" *ibid.* p. 278-283.
- 17) 日本化學會編: 化學便覽 p. 742 丸善出版 (1958)
- 18) G. Economos & W. D. Kingery: "Metal-Ceramic Interaction; III. Surface Tension and Wettability of Metal-Ceramic Systems" *J. Am. Ceram. Soc.* 37 (12) 403-409 (1953)